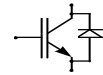


Technische Information / Technical Information

IGBT-Module
IGBT-Modules

FZ 600 R17 KE3

eupec



vorläufige Daten
preliminary data

Höchstzulässige Werte / Maximum rated values

Elektrische Eigenschaften / Electrical properties

Kollektor-Emitter-Sperrspannung collector-emitter voltage	$T_{vj} = 25^{\circ}\text{C}$	V_{CES}	1700	V
Kollektor-Dauergleichstrom DC-collector current	$T_C = 80^{\circ}\text{C}$	$I_{C,nom.}$	600	A
	$T_C = 25^{\circ}\text{C}$	I_C	1070	A
Periodischer Kollektor Spitzenstrom repetitive peak collector current	$t_p = 1\text{ ms}, T_C = 80^{\circ}\text{C}$	I_{CRM}	1200	A
Gesamt-Verlustleistung total power dissipation	$T_C = 25^{\circ}\text{C}$, Transistor	P_{tot}	3120	W
Gate-Emitter-Spitzenspannung gate-emitter peak voltage		V_{GES}	+/- 20V	V
Dauergleichstrom DC forward current		I_F	600	A
Periodischer Spitzenstrom repetitive peak forw. current	$t_p = 1\text{ ms}$	I_{FRM}	1200	A
Grenzlastintegral der Diode I^2t - value, Diode	$V_R = 0\text{V}, t_p = 10\text{ms}, T_{vj} = 125^{\circ}\text{C}$	I^2t	53	kA^2s
Isolations-Prüfspannung insulation test voltage	RMS, $f = 50\text{ Hz}, t = 1\text{ min.}$	V_{ISOL}	3,4	kV

Charakteristische Werte / Characteristic values

Transistor / Transistor

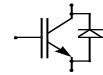
			min.	typ.	max.	
Kollektor-Emitter Sättigungsspannung collector-emitter saturation voltage	$I_C = 600\text{A}, V_{GE} = 15\text{V}, T_{vj} = 25^{\circ}\text{C}$	$V_{CE\text{ sat}}$	-	2,0	2,45	V
	$I_C = 600\text{A}, V_{GE} = 15\text{V}, T_{vj} = 125^{\circ}\text{C}$		-	2,4	-	V
Gate-Schwellenspannung gate threshold voltage	$I_C = 24\text{mA}, V_{CE} = V_{GE}, T_{vj} = 25^{\circ}\text{C}$	$V_{GE(th)}$	5,2	5,8	6,4	V
Gateladung gate charge	$V_{GE} = -15\text{V} \dots +15\text{V}$	Q_G	-	6,8	-	μC
Eingangskapazität input capacitance	$f = 1\text{MHz}, T_{vj} = 25^{\circ}\text{C}, V_{CE} = 25\text{V}, V_{GE} = 0\text{V}$	C_{ies}	-	50	-	nF
Rückwirkungskapazität reverse transfer capacitance	$f = 1\text{MHz}, T_{vj} = 25^{\circ}\text{C}, V_{CE} = 25\text{V}, V_{GE} = 0\text{V}$	C_{res}	-	1,8	-	nF
Kollektor-Emitter Reststrom collector-emitter cut-off current	$V_{CE} = 1700\text{V}, V_{GE} = 0\text{V}, T_{vj} = 25^{\circ}\text{C}$	I_{CES}	-	-	5	mA
Gate-Emitter Reststrom gate-emitter leakage current	$V_{CE} = 0\text{V}, V_{GE} = 20\text{V}, T_{vj} = 25^{\circ}\text{C}$	I_{GES}	-	-	400	nA

prepared by: Alfons Wiesenthal

date of publication: 2003-03-31

approved by: Christoph Lübke

revision: 2.1



vorläufige Daten
preliminary data

Charakteristische Werte / Characteristic values

Transistor / Transistor

min. typ. max.

Einschaltverzögerungszeit (ind. Last) turn on delay time (inductive load)	$I_C = 600A, V_{CE} = 900V$	$t_{d,on}$	-	0,28	-	μs
	$V_{GE} = \pm 15V, R_G = 2,4\Omega, T_{vj} = 25^\circ C$ $V_{GE} = \pm 15V, R_G = 2,4\Omega, T_{vj} = 125^\circ C$		-	0,33	-	μs
Anstiegszeit (induktive Last) rise time (inductive load)	$I_C = 600A, V_{CE} = 900V$	t_r	-	0,10	-	μs
	$V_{GE} = \pm 15V, R_G = 2,4\Omega, T_{vj} = 25^\circ C$ $V_{GE} = \pm 15V, R_G = 2,4\Omega, T_{vj} = 125^\circ C$		-	0,10	-	μs
Abschaltverzögerungszeit (ind. Last) turn off delay time (inductive load)	$I_C = 600A, V_{CE} = 900V$	$t_{d,off}$	-	0,85	-	μs
	$V_{GE} = \pm 15V, R_G = 2,4\Omega, T_{vj} = 25^\circ C$ $V_{GE} = \pm 15V, R_G = 2,4\Omega, T_{vj} = 125^\circ C$		-	1,00	-	μs
Fallzeit (induktive Last) fall time (inductive load)	$I_C = 600A, V_{CE} = 900V$	t_f	-	0,15	-	μs
	$V_{GE} = \pm 15V, R_G = 2,4\Omega, T_{vj} = 25^\circ C$ $V_{GE} = \pm 15V, R_G = 2,4\Omega, T_{vj} = 125^\circ C$		-	0,23	-	μs
Einschaltverlustenergie pro Puls turn-on energy loss per pulse	$I_C = 600A, V_{CE} = 900V, V_{GE} = \pm 15V$ $R_G = 2,4\Omega, T_{vj} = 125^\circ C, L_\sigma = 60nH$	E_{on}	-	200	-	mJ
Abschaltverlustenergie pro Puls turn-off energy loss per pulse	$I_C = 600A, V_{CE} = 900V, V_{GE} = \pm 15V$ $R_G = 2,4\Omega, T_{vj} = 125^\circ C, L_\sigma = 60nH$	E_{off}	-	190	-	mJ
Kurzschlußverhalten SC Data	$t_p \leq 10\mu sec, V_{GE} \leq 15V$ $T_{vj} \leq 125^\circ C, V_{CC} = 1000V, V_{CEmax} = V_{CES} - L_{\sigma CE} \cdot di/dt$	I_{SC}	-	2220	-	A
Modulinduktivität stray inductance module	Anschlüsse / terminals: 1 - 2	$L_{\sigma CE}$	-	16	-	nH
Modulleitungswiderstand, Anschlüsse - Chip module lead resistance, terminals - chip	$T_C = 25^\circ C$	R_{CC+EE}	-	0,50	-	m Ω

Charakteristische Werte / Characteristic values

Diode / Diode

min. typ. max.

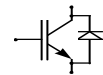
Durchlaßspannung forward voltage	$I_F = 600A, V_{GE} = 0V, T_{vj} = 25^\circ C$	V_F	-	1,8	2,2	V
	$I_F = 600A, V_{GE} = 0V, T_{vj} = 125^\circ C$		-	1,9	t.b.d.	V
Rückstromspitze peak reverse recovery current	$I_F = 600A, -di_F/dt = 5200A/\mu s$	I_{RM}	-	640	-	A
	$V_R = 900V, V_{GE} = -15V, T_{vj} = 25^\circ C$ $V_R = 900V, V_{GE} = -15V, T_{vj} = 125^\circ C$		-	700	-	A
Sperrverzögerungsladung recovered charge	$I_F = 600A, -di_F/dt = 5200A/\mu s$	Q_r	-	150	-	μC
	$V_R = 900V, V_{GE} = -15V, T_{vj} = 25^\circ C$ $V_R = 900V, V_{GE} = -15V, T_{vj} = 125^\circ C$		-	250	-	μC
Abschaltenergie pro Puls reverse recovery energy	$I_F = 600A, -di_F/dt = 5200A/\mu s$	E_{rec}	-	85	-	mJ
	$V_R = 900V, V_{GE} = -15V, T_{vj} = 25^\circ C$ $V_R = 900V, V_{GE} = -15V, T_{vj} = 125^\circ C$		-	145	-	mJ

Technische Information / Technical Information

IGBT-Module
IGBT-Modules

FZ 600 R17 KE3

eupec



vorläufige Daten
preliminary data

Thermische Eigenschaften / Thermal properties

		min.	typ.	max.		
Innerer Wärmewiderstand thermal resistance, junction to case	Transistor / transistor, DC	R_{thJC}	-	-	0,040	K/W
	Diode/Diode, DC		-	-	0,065	K/W
Übergangs-Wärmewiderstand thermal resistance, case to heatsink	pro Modul / per module $\lambda_{paste} = 1 \text{ W/m}^2\text{K}$ / $\lambda_{grease} = 1 \text{ W/m}^2\text{K}$	R_{thCK}	-	0,01	-	K/W
Höchstzulässige Sperrschichttemperatur maximum junction temperature		$T_{vj\ max}$	-	-	150	°C
Betriebstemperatur operation temperature		$T_{vj\ op}$	-40	-	125	°C
Lagertemperatur storage temperature		T_{stg}	-40	-	125	°C

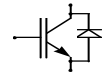
Mechanische Eigenschaften / Mechanical properties

Gehäuse, siehe Anlage case, see appendix						
Innere Isolation internal insulation				Al_2O_3		
Kriechstrecke creepage distance				20		mm
Luftstrecke clearance				11		mm
CTI comperative tracking index				425		
Anzugsdrehmoment f. mech. Befestigung mounting torque	Schraube / screw M6	M	3	-	6	Nm
Anzugsdrehmoment f. elektr. Anschlüsse terminal connection torque	Anschlüsse / terminals M6	M	2,5	-	5	Nm
	Anschlüsse / terminals M4	M	1,1	-	2	Nm
Gewicht weight				340		g

Mit dieser technischen Information werden Halbleiterbauelemente spezifiziert, jedoch keine Eigenschaften zugesichert.

Sie gilt in Verbindung mit den zugehörigen Technischen Erläuterungen.

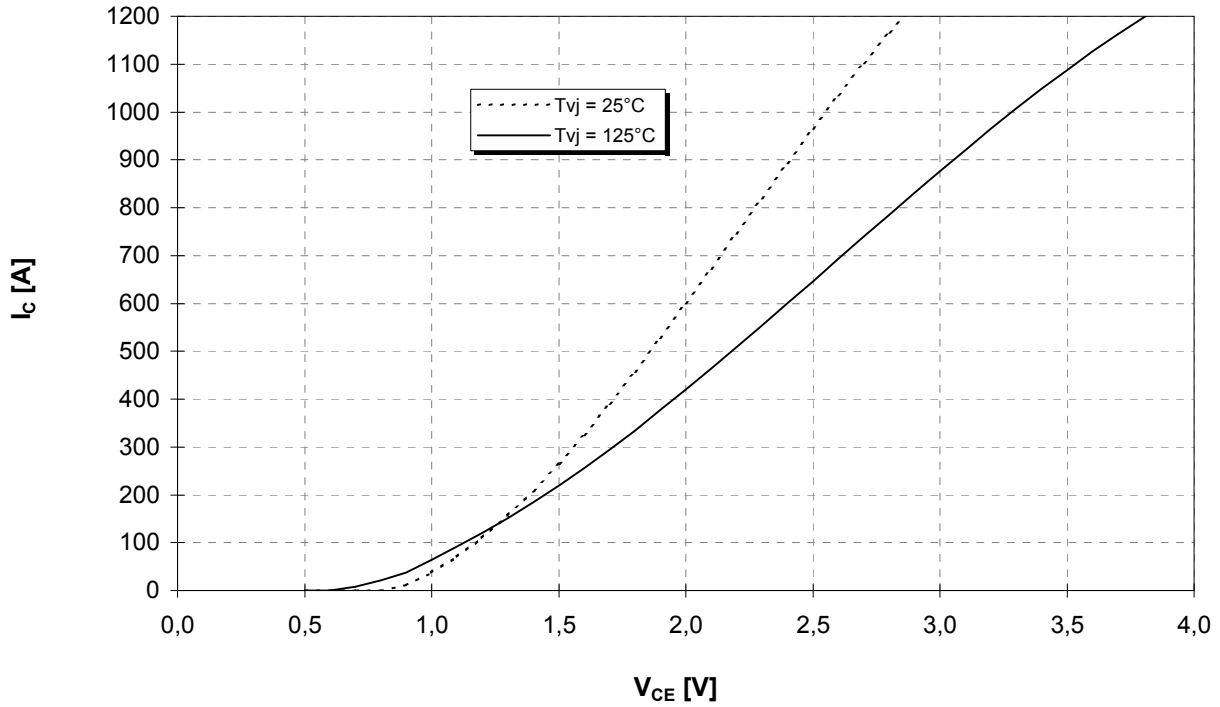
This technical information specifies semiconductor devices but promises no characteristics. It is valid in combination with the belonging technical notes.



Ausgangskennlinie (typisch)
Output characteristic (typical)

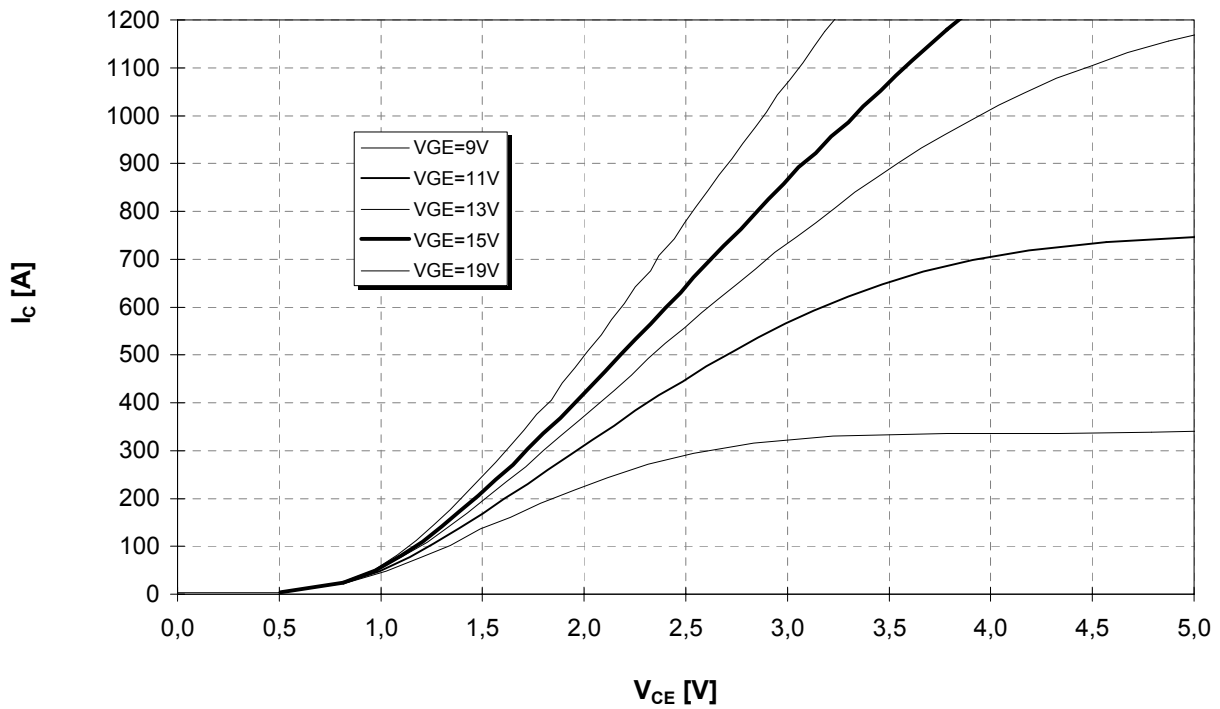
$I_C = f(V_{CE})$
 $V_{GE} = 15V$

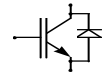
vorläufige Daten
preliminary data



Ausgangskennlinienfeld (typisch)
Output characteristic (typical)

$I_C = f(V_{CE})$
 $T_{vj} = 125°C$

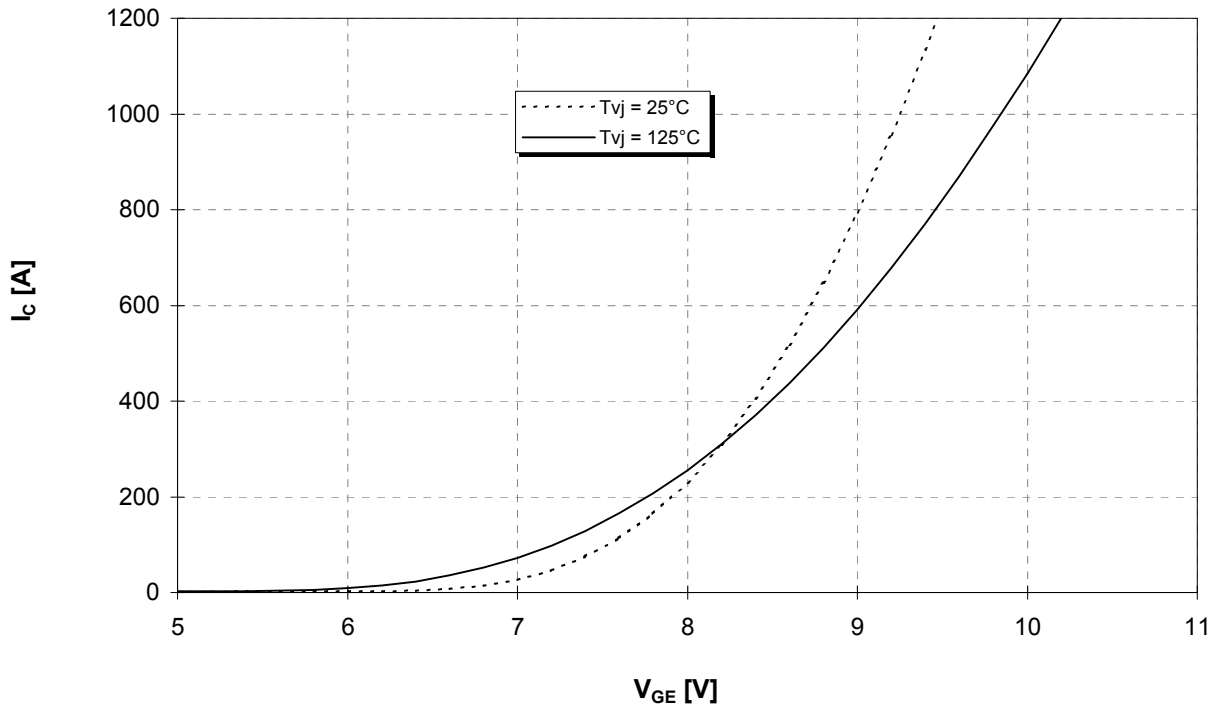




vorläufige Daten
preliminary data

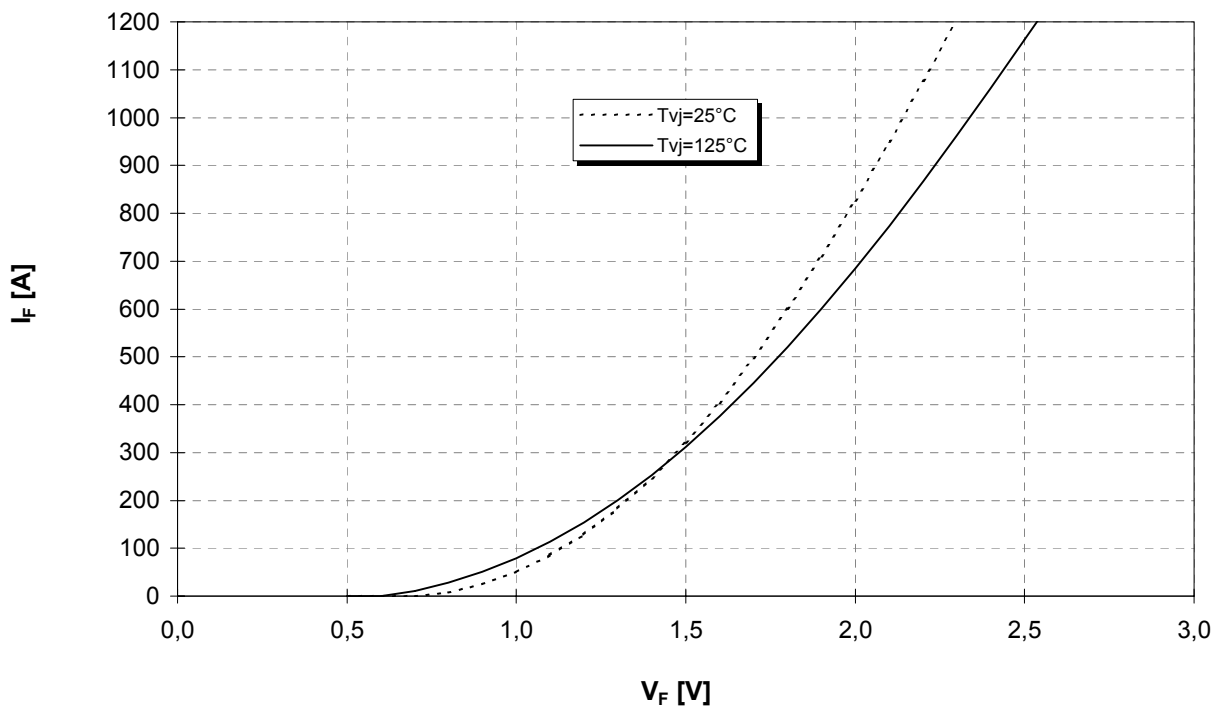
Übertragungscharakteristik (typisch)
Transfer characteristic (typical)

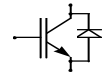
$I_C = f(V_{GE})$
 $V_{CE} = 20V$



Durchlaßkennlinie der Inversdiode (typisch)
Forward characteristic of inverse diode (typical)

$I_F = f(V_F)$

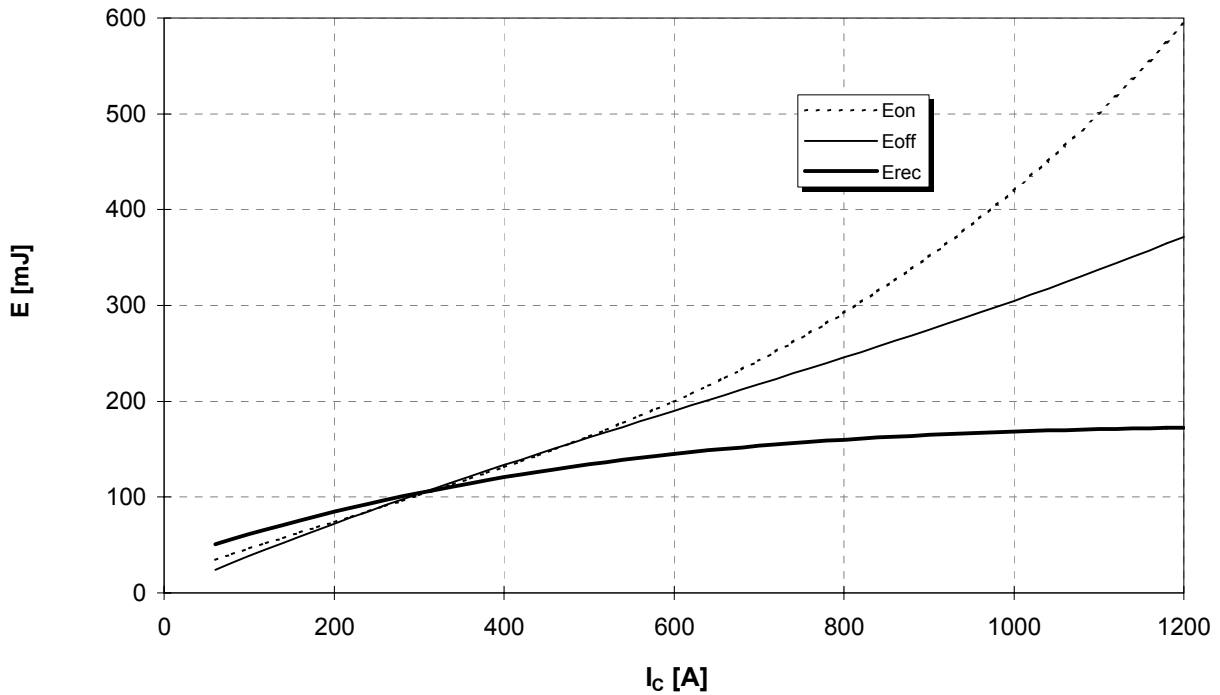




vorläufige Daten
preliminary data

Schaltverluste (typisch) $E_{on} = f(I_C)$, $E_{off} = f(I_C)$, $E_{rec} = f(I_C)$

Switching losses (typical) $V_{GE} = \pm 15V$, $R_{Gon} = R_{Goff} = 2,4\Omega$, $V_{CE} = 900V$, $T_{vj} = 125^\circ C$

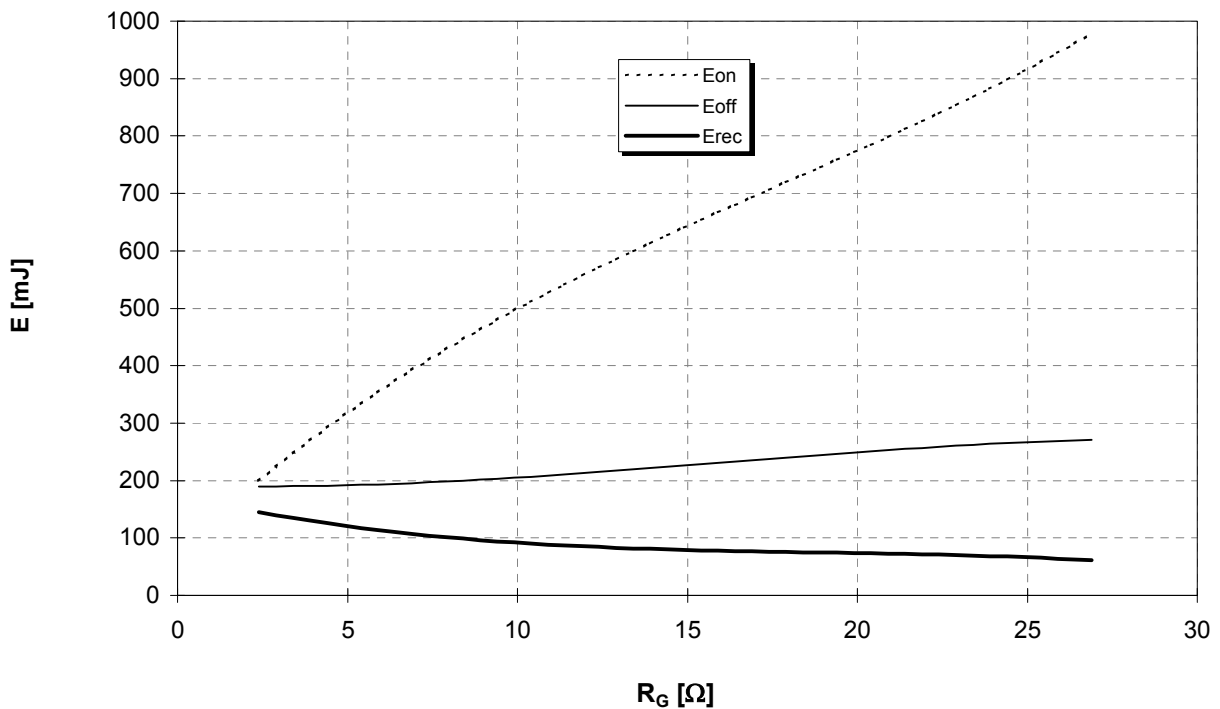


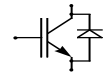
Schaltverluste (typisch) $E_{on} = f(R_G)$, $E_{off} = f(R_G)$, $E_{rec} = f(R_G)$

Switching losses (typical)

$E_{on} = f(R_G)$, $E_{off} = f(R_G)$, $E_{rec} = f(R_G)$

$V_{GE} = \pm 15V$, $I_C = 600A$, $V_{CE} = 900V$, $T_{vj} = 125^\circ C$

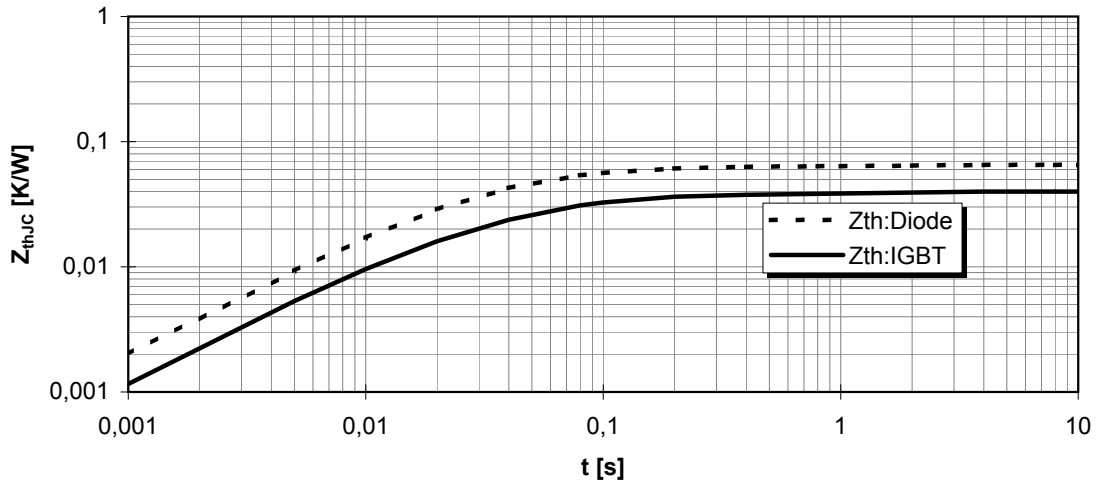




vorläufige Daten
preliminary data

Transienter Wärmewiderstand
Transient thermal impedance

$$Z_{thJC} = f(t)$$

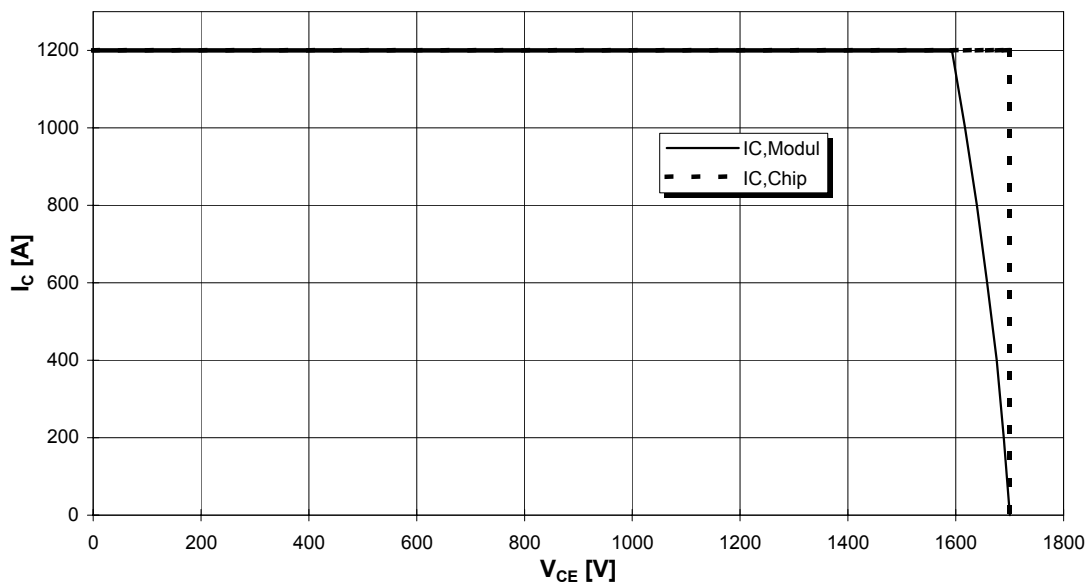


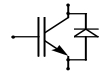
i		1	2	3	4
r_i [K/kW]	: IGBT	10,18	15,04	11,62	3,16
τ_i [s]	: IGBT	0,01565	0,03977	0,07521	1,443
r_i [K/kW]	: Diode	22,03	24,445	15,48	3,05
τ_i [s]	: Diode	0,02103	0,03011	0,08672	1,1583

Sicherer Arbeitsbereich (RBSOA)

Reverse bias safe operation area (RBSOA)

$V_{GE} = \pm 15V, R_G = 2,4 \text{ Ohm}, T_{vj} = 125^\circ C$





vorläufige Daten
preliminary data

